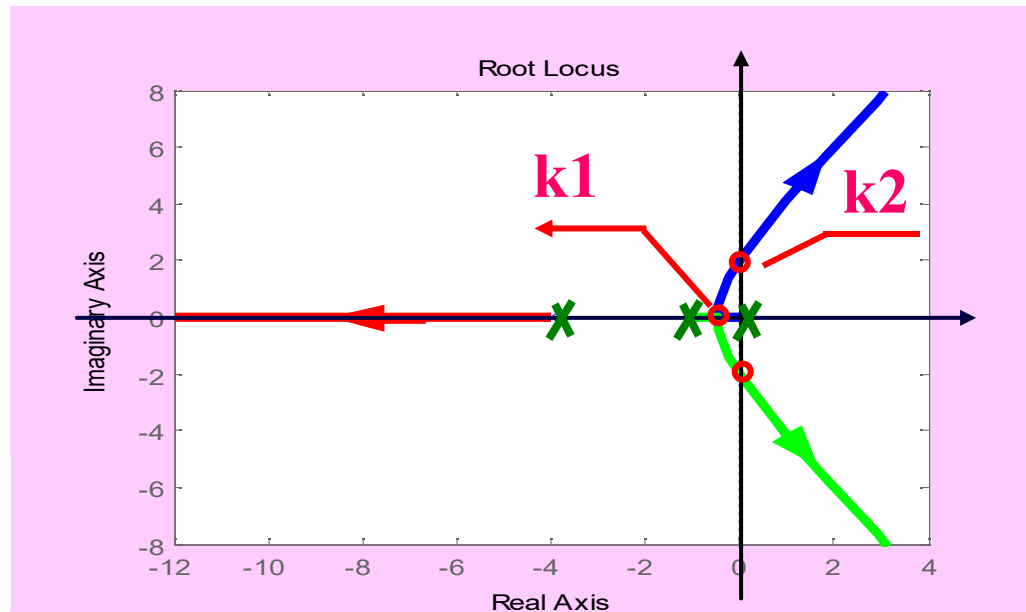


## § 4-4 用根轨迹分析系统的性能

### 单位反馈系统

$$G(S) = \frac{k^*}{s(s+1)(s+4)}$$

$(k^* : 0 \rightarrow +\infty)$



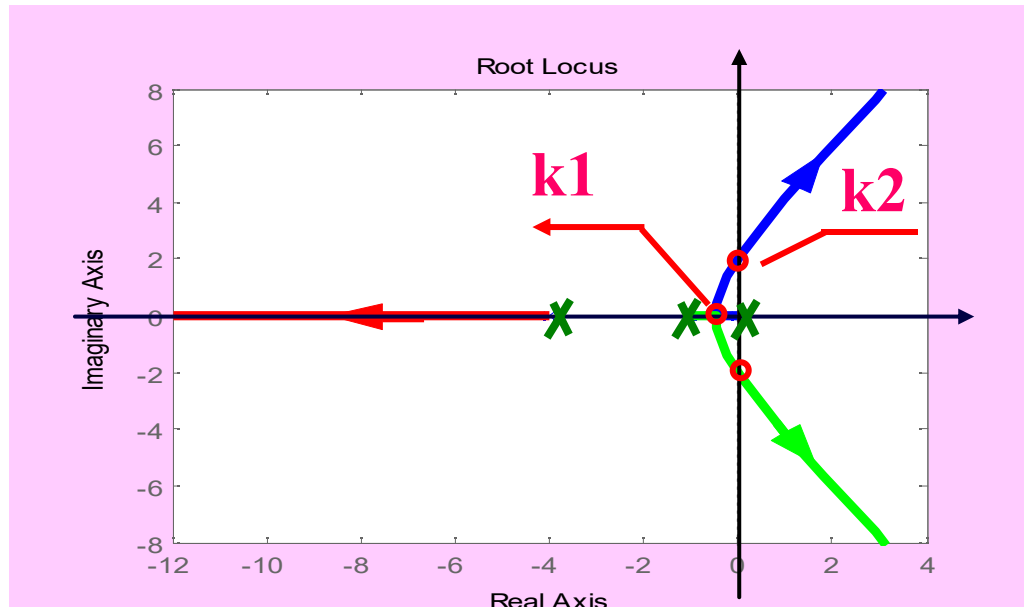
根轨迹绘制的目的是进行系统性能的分析。

主要讨论闭环零、极点对系统性能的影响。

# 单位反馈系统

$$G(S) = \frac{k^*}{s(s+1)(s+4)}$$

$(k^* : 0 \rightarrow +\infty)$



## 一、闭环零、极点分布与阶跃响应的定性分析

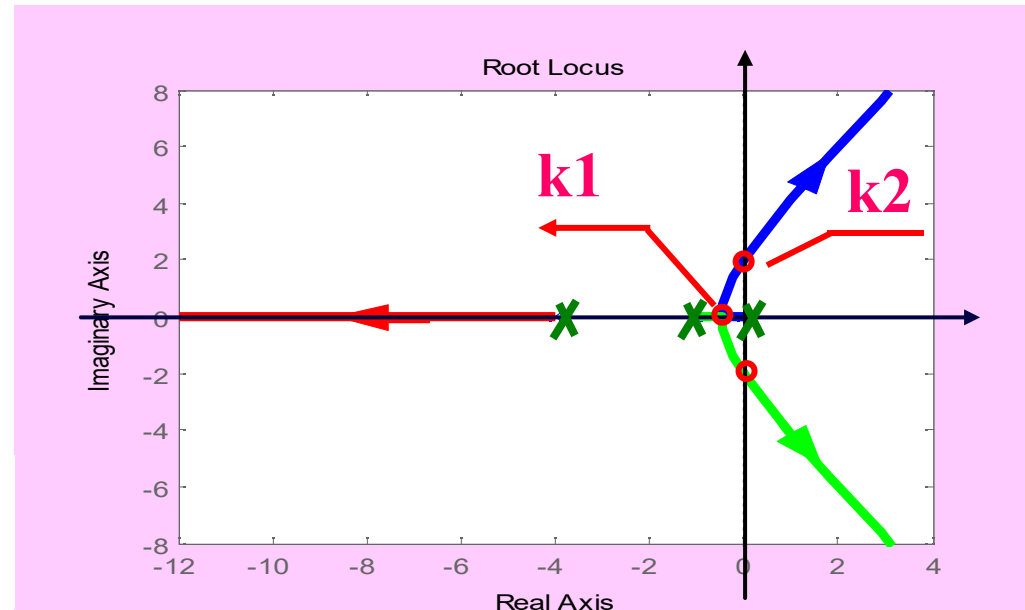
$$\Phi(s) = \frac{C(s)}{R(s)} = \frac{K^* \prod_{i=1}^m (s - z_i)}{\prod_{i=1}^n (s - p_i)}$$

$h(t)$ 与闭环零、极点都有关系

# 单位反馈系统

$$G(S) = \frac{k^*}{s(s+1)(s+4)}$$

$(k^* : 0 \rightarrow +\infty)$



## 一、闭环零、极点分布与阶跃响应的定性分析

$$\Phi(s) = \frac{C(s)}{R(s)} = \frac{K^* \prod_{i=1}^m (s - z_i)}{\prod_{i=1}^n (s - p_i)}$$

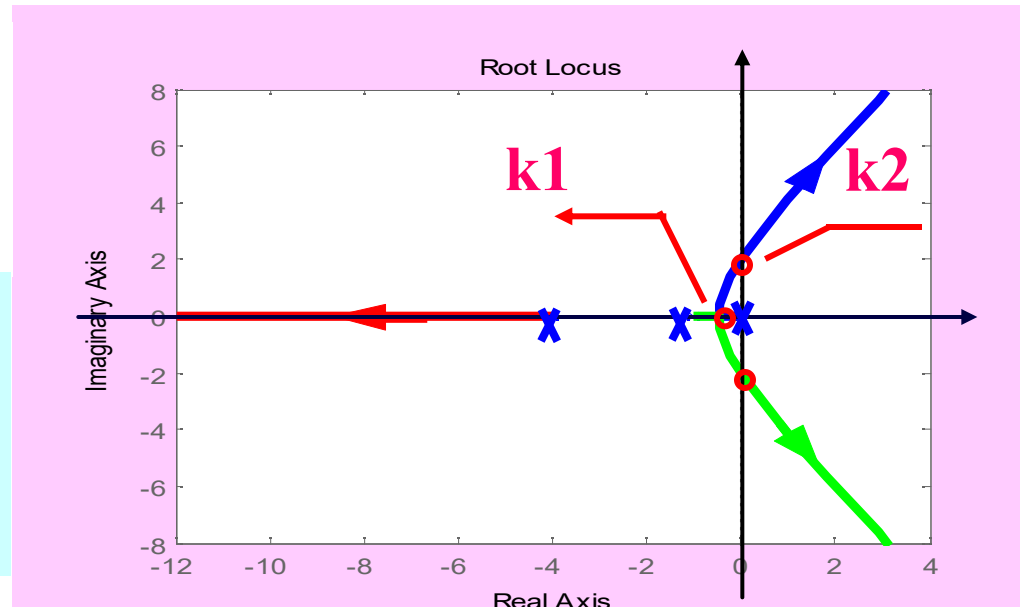
1. 稳定性

只与闭环极点有关,与闭环零点无关

$$G(S) = \frac{k^*}{s(s+1)(s+4)}$$

$(k^* : 0 \rightarrow +\infty)$

$$\Phi(s) = \frac{C(s)}{R(s)} = \frac{K^* \prod_{i=1}^m (s - z_i)}{\prod_{i=1}^n (s - p_i)}$$

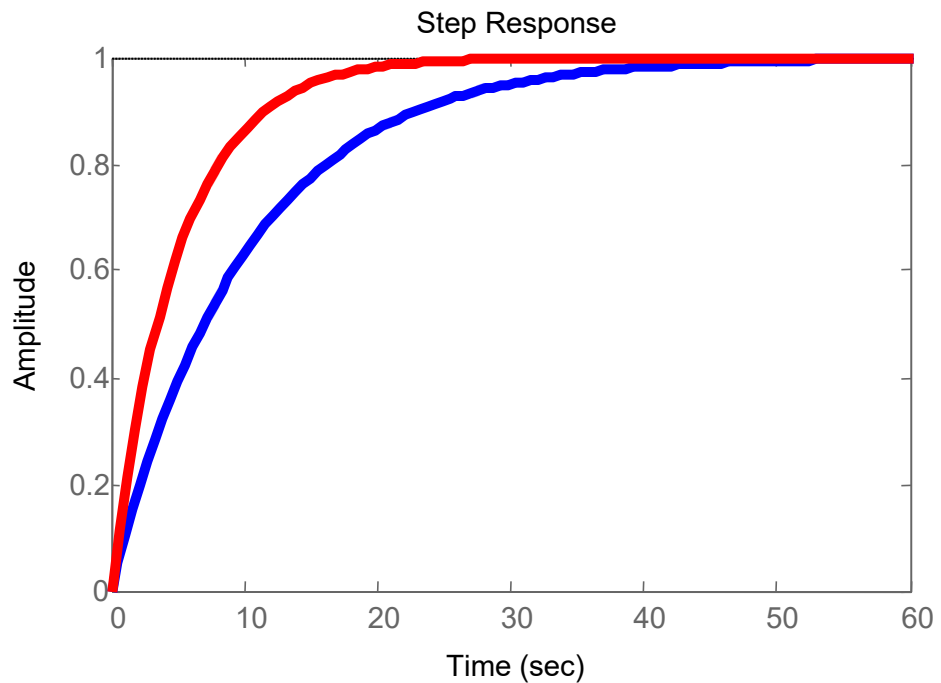
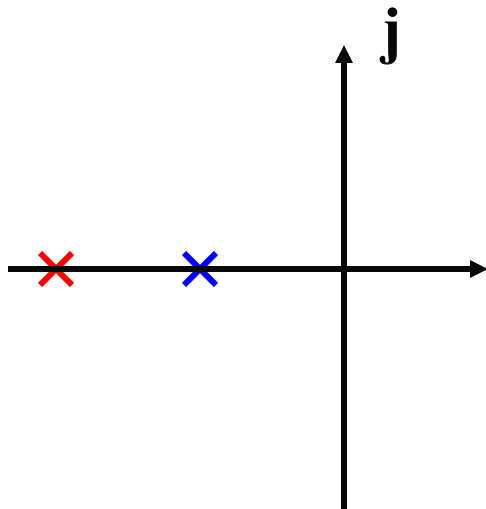


## 2. 动态响应形式

若系统无闭环零点,

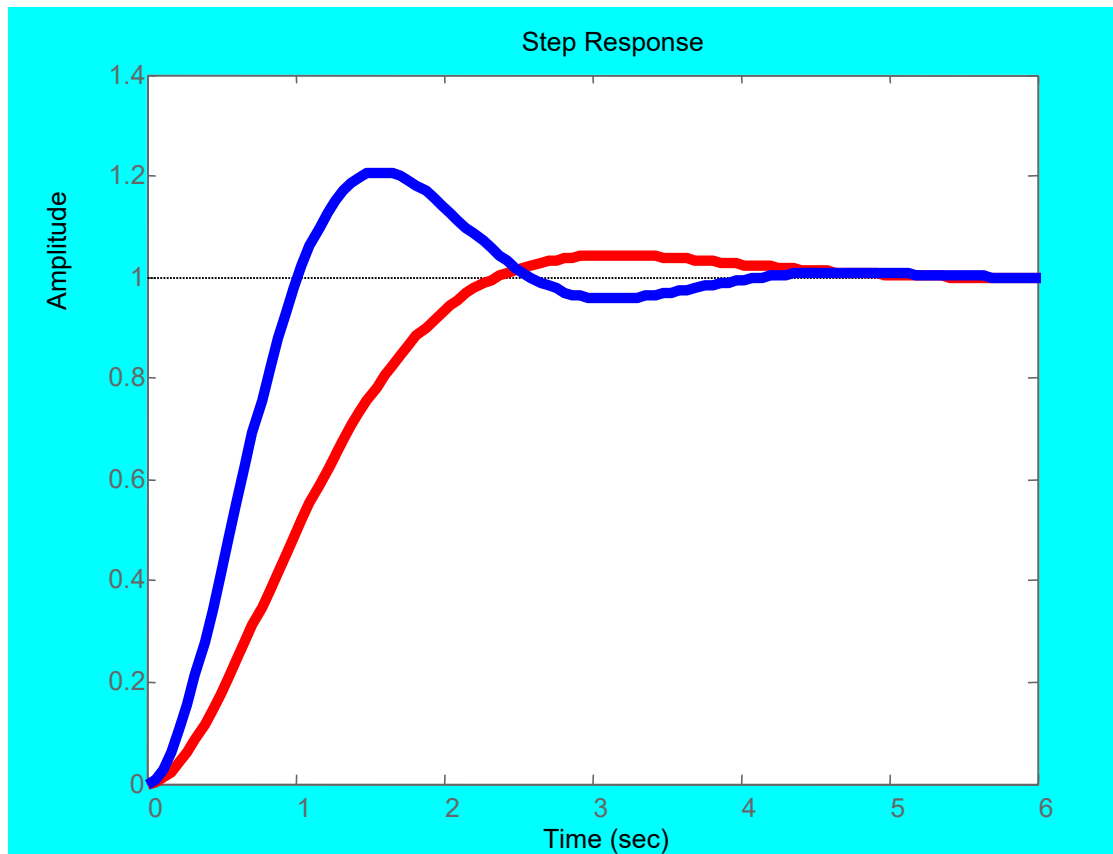
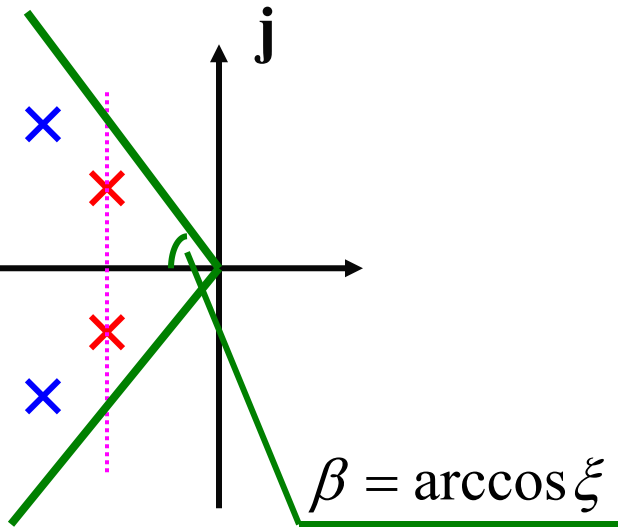
<u>闭环极点</u>	<u><math>h(t)</math></u>
实根	单调
复根	振荡

### 3. 系统快速性



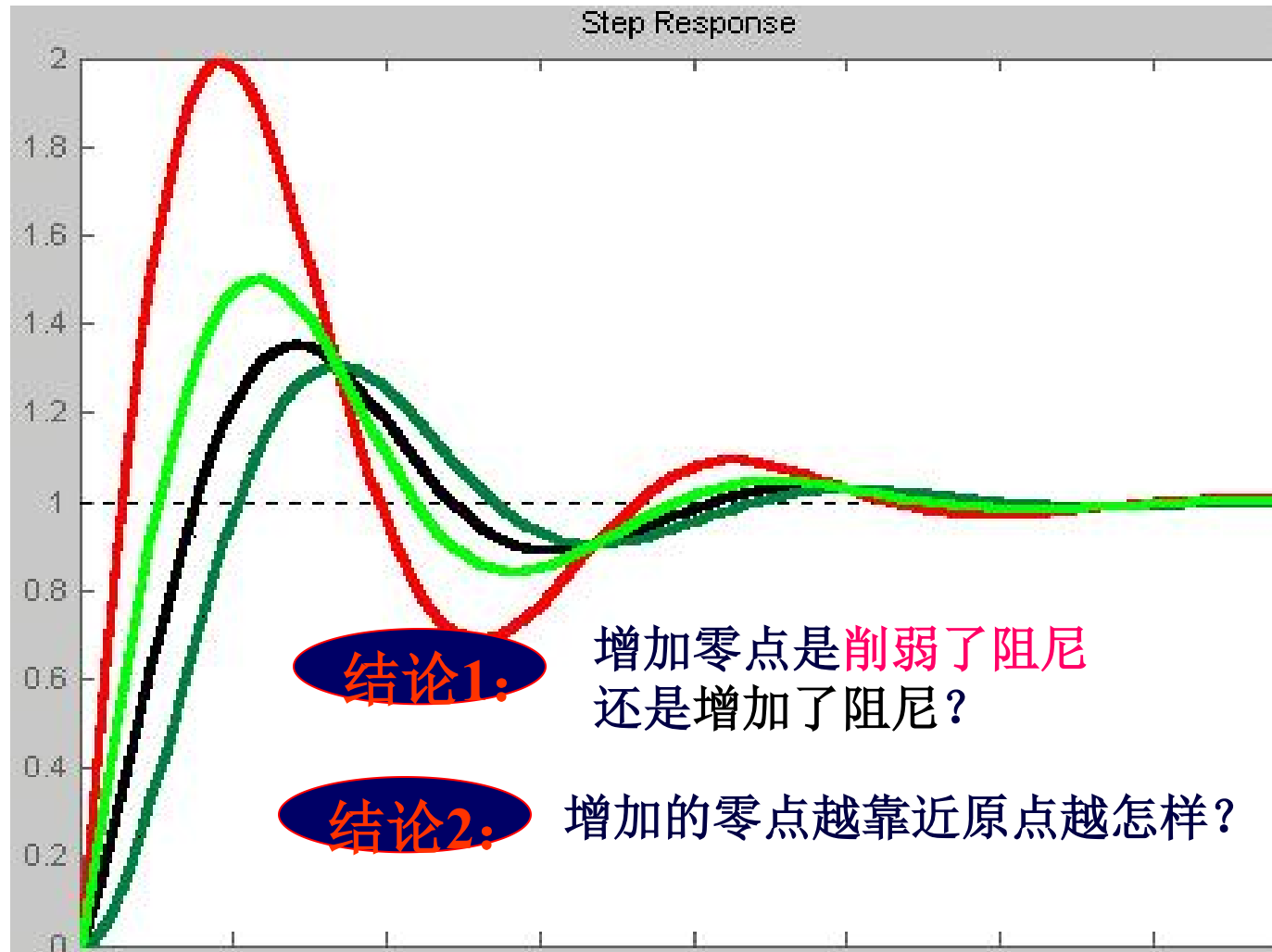
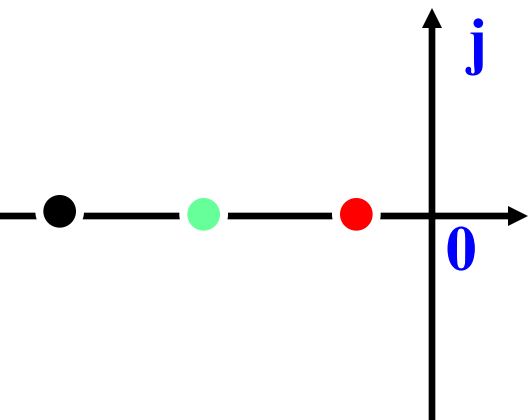
和闭环极点与虚轴的远近有关  
距离虚轴越远，快速性越好

## 4. 平稳性



共轭复根与实轴越近，平稳性好；  
最好位于和实轴成 $45^{\circ}$ 夹角附近。

# 增加闭环零点对欠阻尼二阶系统的影响



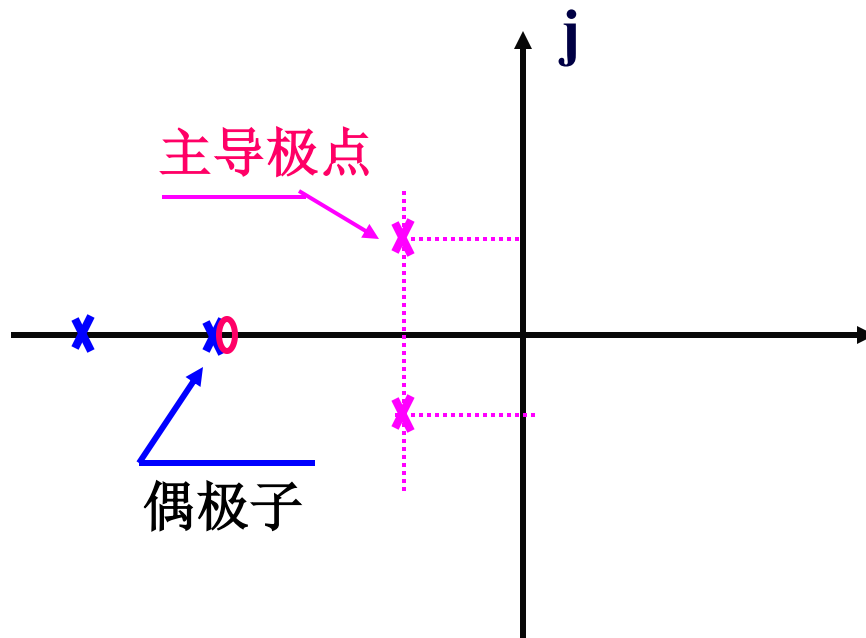
5. 增加闭环实数零点

可使  $\zeta \downarrow \rightarrow tp \downarrow$ ,  $\delta\% \uparrow$ , 且离坐标原点越近, 作用越强

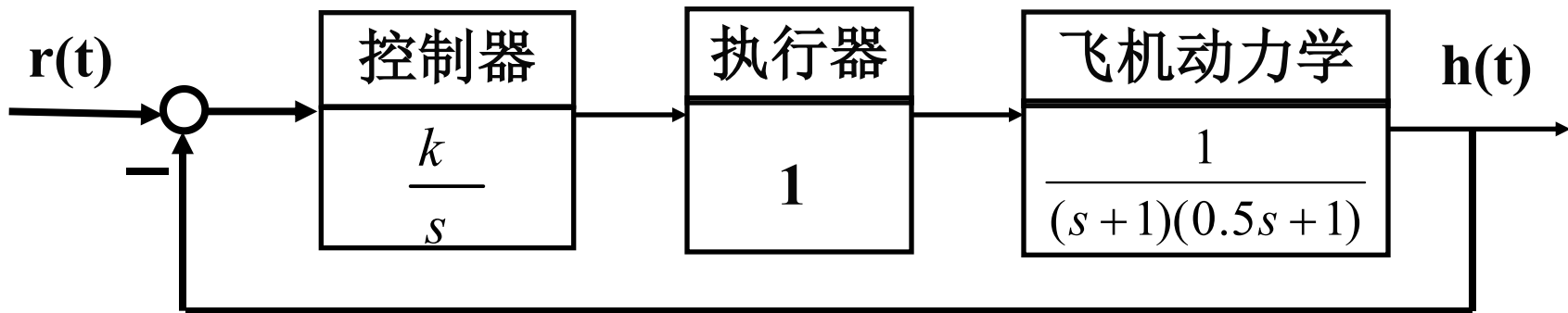
## 二、主导极点和偶极子

主导极点： 离虚轴最近，附近又无闭环零点，他们对系统的影响最大，称这样的极点为主导极点。（工程上3~4倍）

偶极子：一对靠得很近的闭环零极点，称为偶极子



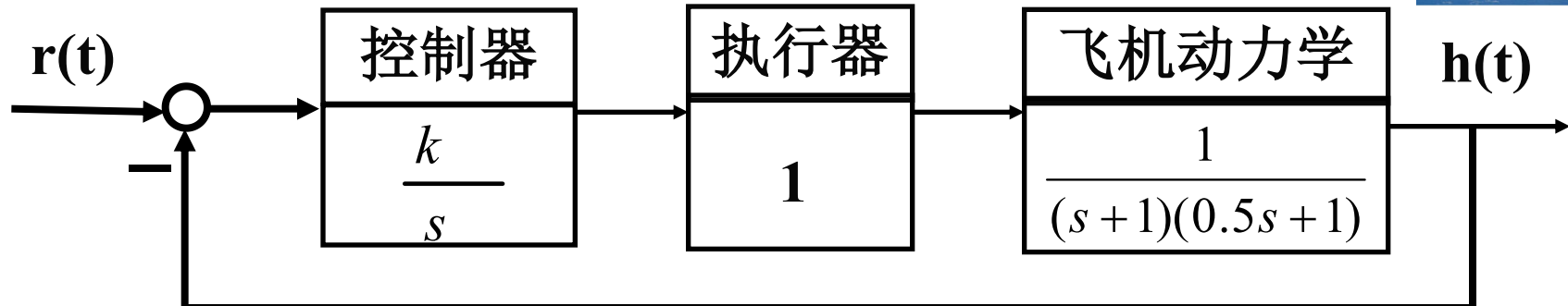
## 【例】某飞机高度控制系统结构如图



1. 试绘制放大器增益k变化时系统根轨迹图，并确定稳定k值范围； 2. 分析系统动态性能； 3. 若主导极点具有阻尼比 $\xi=0.5$ , 求系统动态性能指标.



# 【例】某飞机高度控制系统结构图



1. 试绘制放大器增益k变化时系统根轨迹图，并确定稳定 k值范围；

解： 1.  $G(s) = \frac{2K}{s(s+1)(s+2)} = \frac{K^*}{s(s+1)(s+2)}$ , ( $K^* = 2K$ )

渐近线:  $\sigma_a = \frac{-3}{3} = -1$

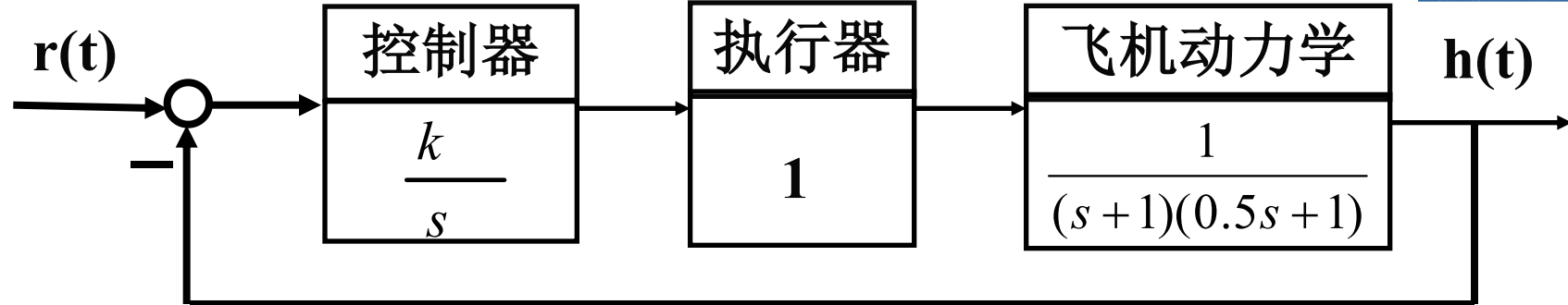
$$\varphi_a = \frac{(2k+1)\pi}{3}, \quad \pi, \frac{\pi}{3}, -\frac{\pi}{3}$$

$m = 0,$

$n = 3, \quad p_1 = 0,$   
 $p_2 = -1, p_3 = -2$

分离点  $\frac{1}{d} + \frac{1}{d+1} + \frac{1}{d+2} = 0 \quad d \approx -0.43, k^* = 1.44$

[例] 某飞机高度控制系统结构如图



1. 试绘制放大器增益k变化时系统根轨迹图，并确定稳定 k值范围；

解： 1.  $G(s) = \frac{2K}{s(s+1)(s+2)} = \frac{K^*}{s(s+1)(s+2)}$ , ( $K^* = 2K$ )

分离点  $\frac{1}{d} + \frac{1}{d+1} + \frac{1}{d+2} = 0 \quad d \approx -0.43, K^* = 1.44$

与虚轴的交点

令  $s = j\omega$

$$D(s) = s(s+1)(s+2) + K^*$$

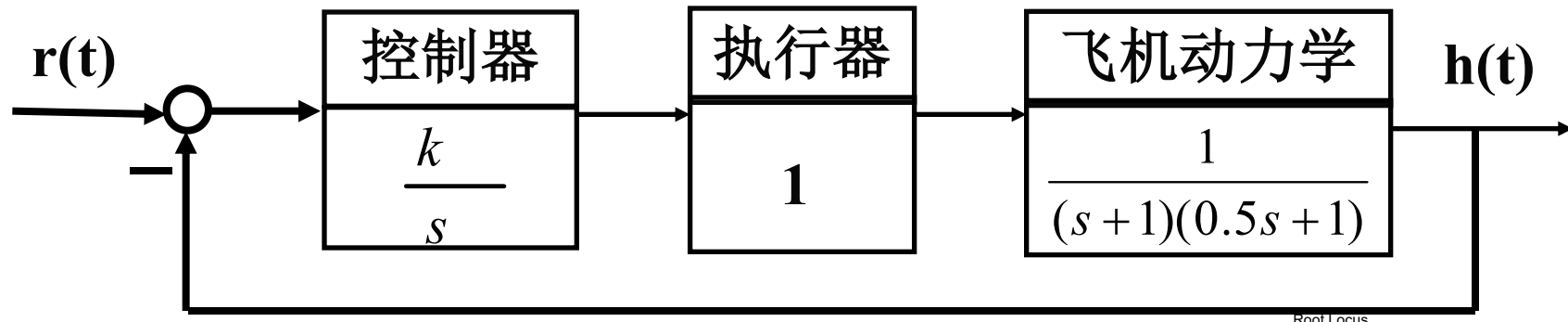
$$= s^3 + 3s^2 + 2s + K^* = 0$$

得： $\omega = 0, K^* = 0;$

$$\omega = \pm \sqrt{2}, K^* = 6$$

MATLAB

[例]某飞机高度控制系统结构如图



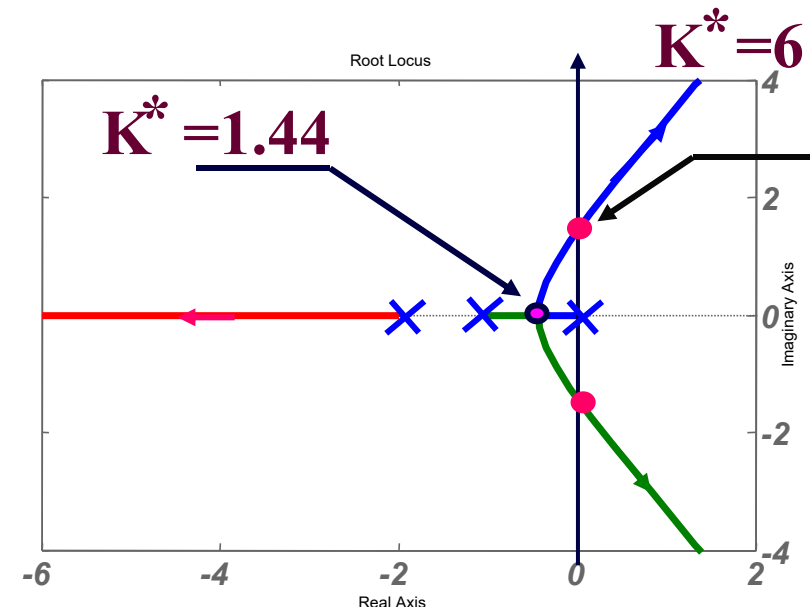
$$G(s) = \frac{K^*}{s(s+1)(s+2)}$$

源程序: num=[1];

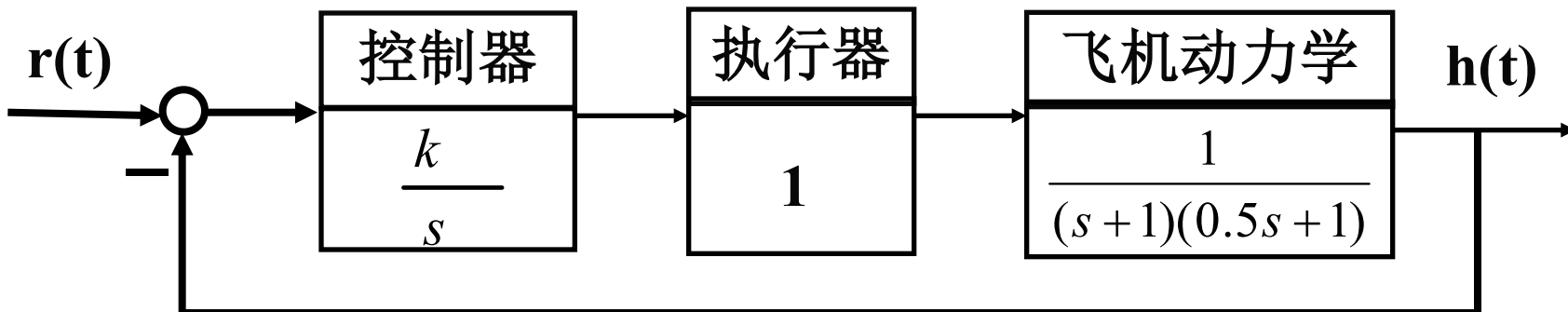
den=[1 3 2 0];

g=tf(num,den);

rlocus(g) %绘制根轨迹的函数



[例] 某飞机高度控制系统结构如图



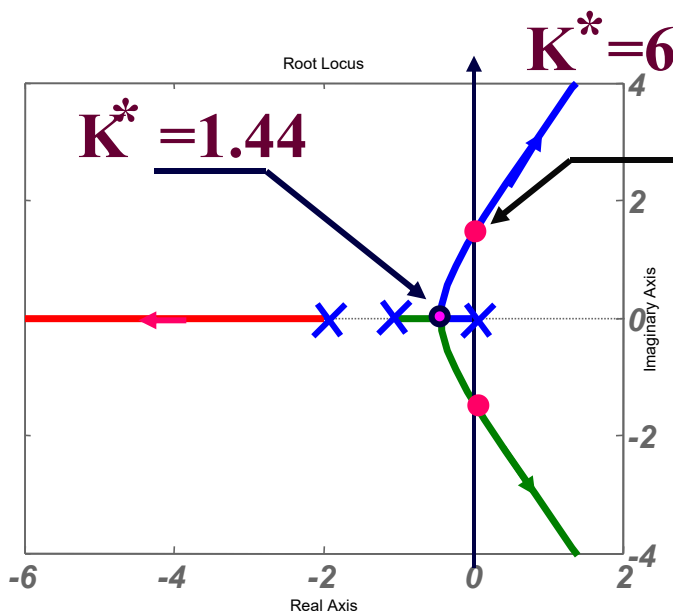
1. 试绘制放大器增益 $k$ 变化时系统根轨迹图，并确定稳定 $k$ 值范围；

解：

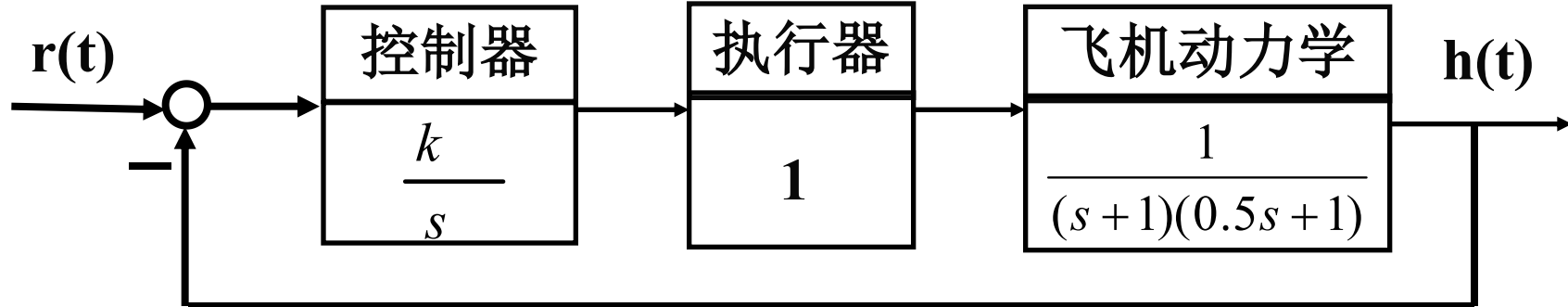
1.  $G(s) = \frac{2K}{s(s+1)(s+2)} = \frac{K^*}{s(s+1)(s+2)}, (K^* = 2K)$

系统稳定 $k$ 值范围？

$0 < K^* < 6$ , 即  $0 < k < 3$



[例]某飞机高度控制系统结构如图



2. 分析系统动态性能；

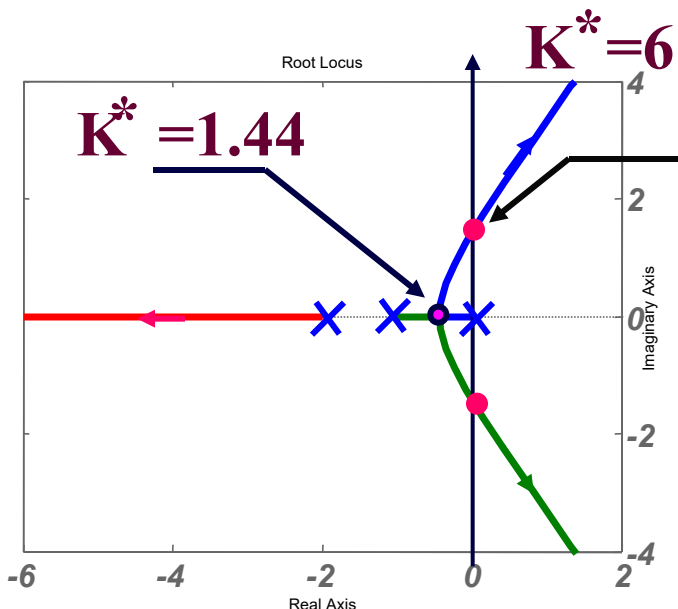
解： 2. 动态性能分析

当 $0 < K^* < 1.44$ 时  $\xi > 1$ (过阻尼)

$K^* = 1.44$ 时  $\xi = 1$ (临界阻尼)

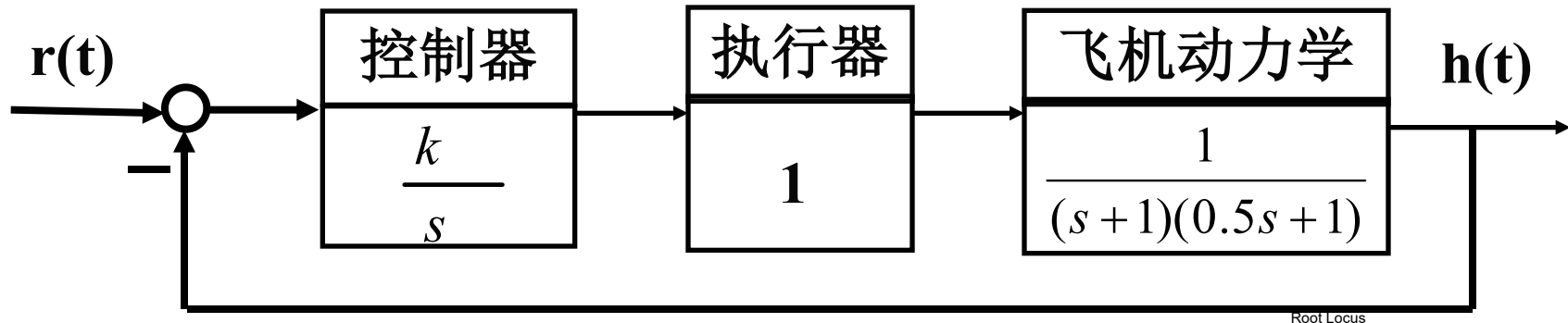
$K^* > 1.44$ 时  $0 < \xi < 1$ (欠阻尼)

$(K^* = 2k)$



$$\Phi(s) = \frac{K^*}{s(s+1)(s+2) + K^*}$$

[例]某飞机高度控制系统结构如图



3. 若主导极点具有阻尼比 $\xi=0.5$ , 求系统动态性能指标.

解: 3.  $\beta = \arccos \xi = 60^\circ$

由根轨迹图得:

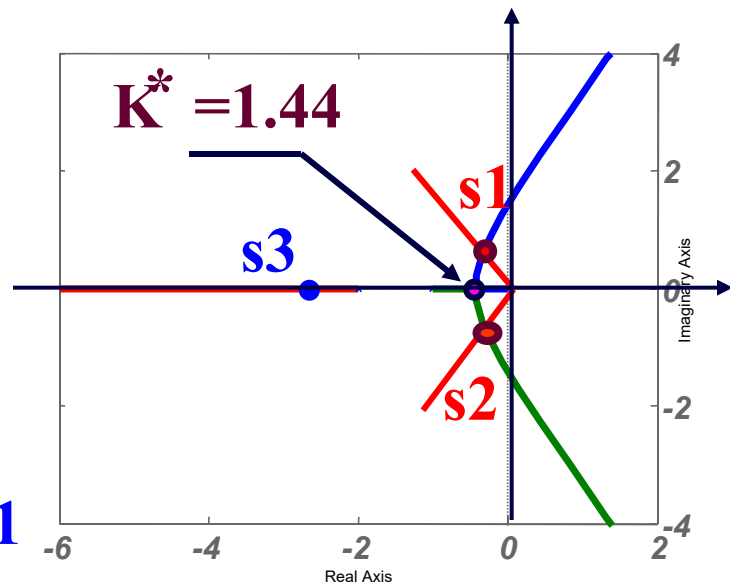
$$s_1 = -0.33 + j0.57$$

$$s_2 = -0.33 - j0.57$$

由模值方程得, 对应的 $K^*=1.02$ , 即 $K=0.51$

$$s_1 + s_2 + s_3 = -3 \quad s_3 = -2.34$$

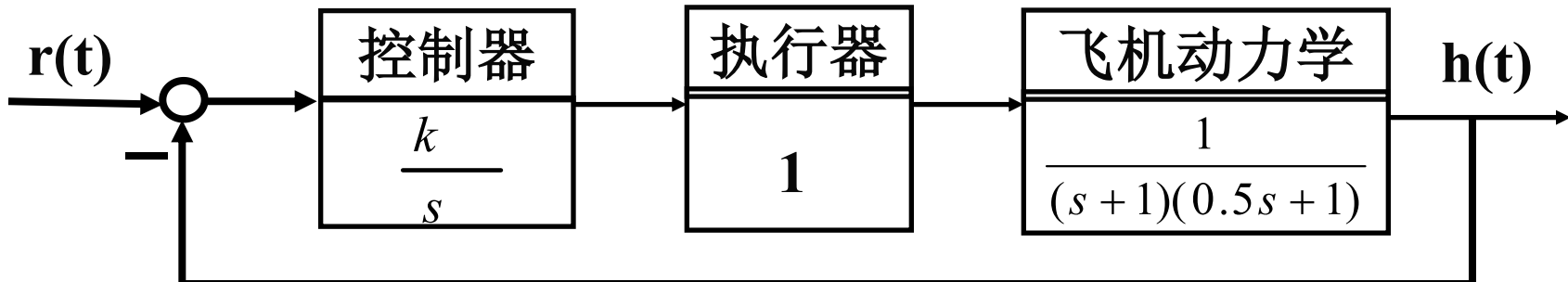
故主导极点是  $s_1, s_2$



$$G(s) = \frac{K^*}{s(s+1)(s+2)}$$

$$\Phi(s) = \frac{K^*}{s(s+1)(s+2) + K^*}$$

[例]某飞机高度控制系统结构如图



3. 若主导极点具有阻尼比 $\xi=0.5$ , 求系统动态性能指标.

$$s_1 = -0.33 + j0.57$$

$$s_3 = -2.34$$

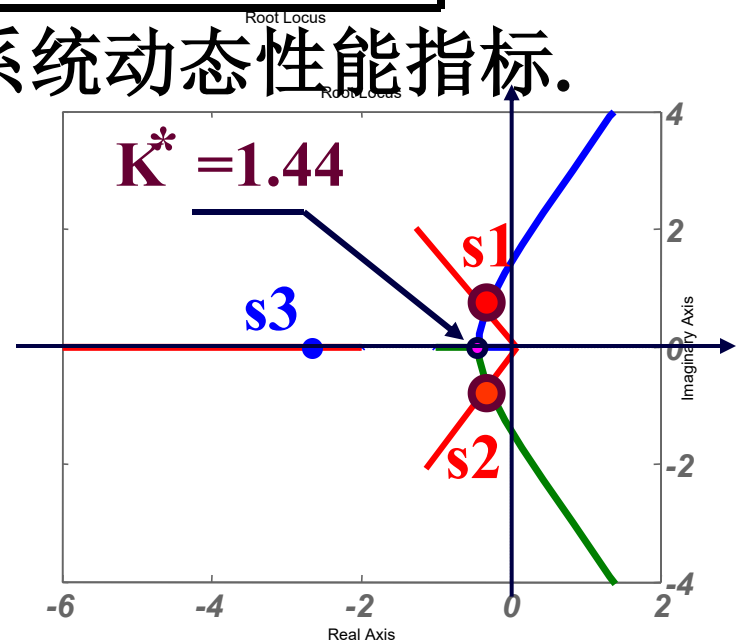
$$s_2 = -0.33 - j0.57$$

由于 $s_3$ 比主导极点实部大3~4倍,可忽略,  
系统近似为二阶系统.

$$\Phi(s) \approx \frac{1.02}{s^2 + 0.66s + 0.4536}$$

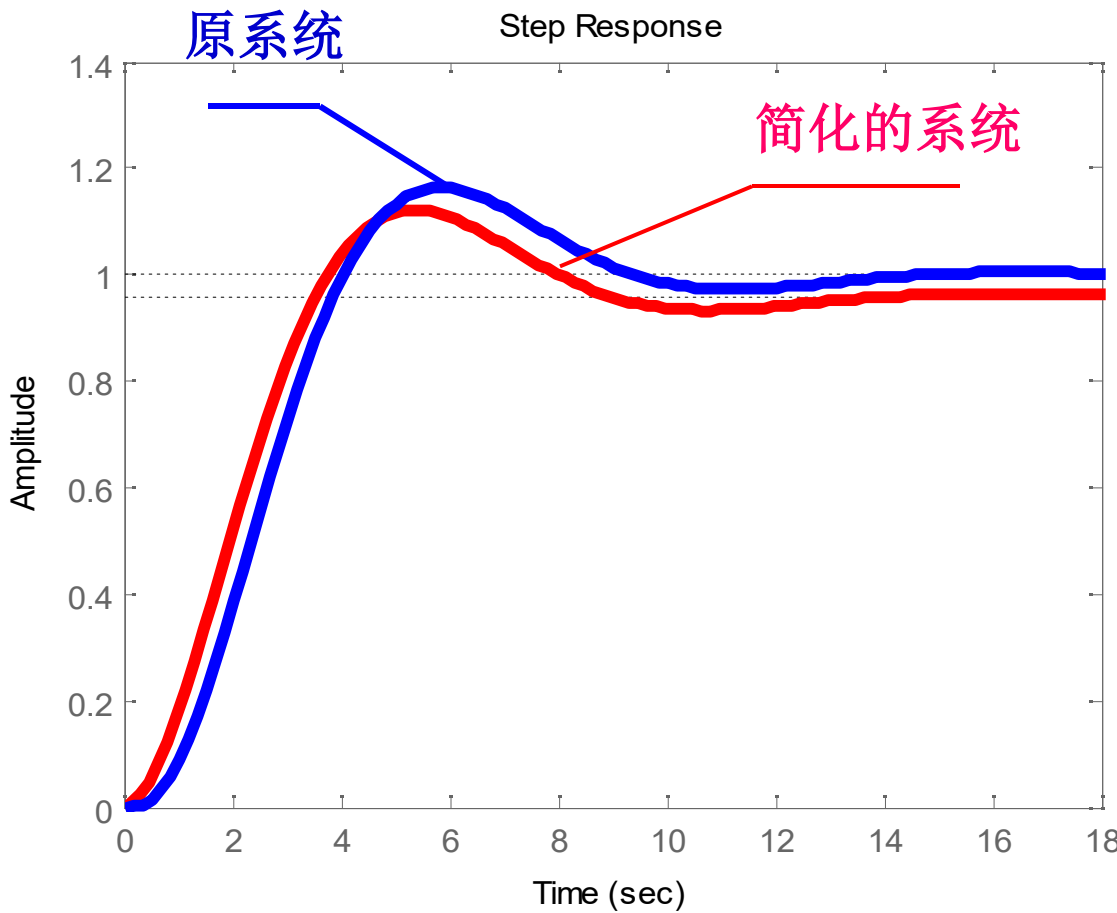
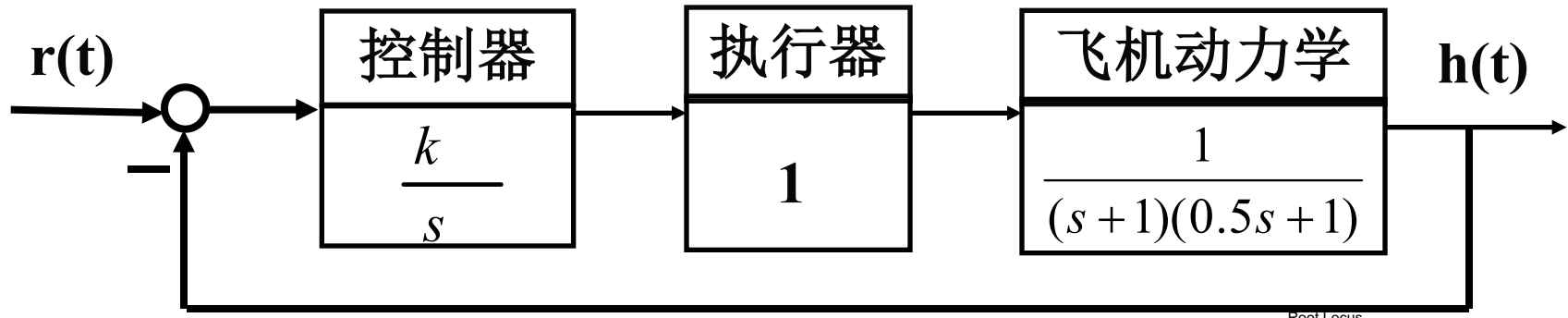
$$\xi = 0.5; \omega_n = 0.66$$

$$t_s = \frac{3}{\xi \omega_n} = 0.91(s); \sigma \% = 16.3\%$$



$$\Phi(s) = \frac{K^*}{s(s+1)(s+2)+K^*}$$

[例]某飞机高度控制系统结构如图



## § 4-4 用根轨迹分析系统性能

小结：

### 一、闭环零、极点分布与阶跃响应

1. 稳定性

2. 动态响应形式

3. 系统快速性

4. 平稳性

5. 增加闭环实数零点

### 二、主导极点和偶极子